

خون

فصلنامه علمی پژوهشی
دوره ۱۲ شماره ۳ پاییز ۹۴ (۲۵۴-۲۴۴)

چگونگی تکوین سلول‌های شبکیه از طریق انتقال ژن *PAX6* به سلول‌های *CD133⁺* به دست آمده از بند ناف انسان

سحر بالاقلی^۱، صدیقه امینی کافی‌آباد^۲، زهرا سهیلا سهیلی^۳، شهرام سمیعی^۳، حمید احمدیه^۴،
مژگان رضایی کنوی^۵، مهین نیکوگفتار ظرفی^۶، نارسیس دفتریان^۷

چکیده

سابقه و هدف

سلول‌های بنیادی *CD133⁺* بند ناف، زیر گروهی از سلول‌های خون‌ساز را تشکیل می‌دهند. ثابت شده که این سلول‌ها از توانایی تمایز خوبی به سمت سلول‌های عصبی برخوردار هستند. ژن *PAX6* جزوی از خانواده چند ژنی *PAX* و از فاکتورهای رونویسی است. ژن *PAX6* ژن کنترل کننده اصلی تکامل چشم و اندام‌های حسی بافت‌های اپیدرمی و عصبی می‌باشد. هدف از این مطالعه، بررسی روند تمایزی سلول‌های *CD133⁺* به دست آمده از بند ناف که ژن (*PAX6(5a)* به آن‌ها انتقال یافته است بود.

مواد و روش‌ها

در یک مطالعه تجربی، ابتدا سلول‌های تک هسته‌ای خون بند ناف به وسیله فایکول جدا شدند، سپس سلول‌های *CD133⁺* موجود در آن با روش MACS جدا و در محیط کشت Stem Span کشت داده شدند. سپس به منظور ساخت ویروس، وکتور ناقل ژن *PAX6* و وکتورهای کمکی (psPAX2، pMD2G) به سلول‌های HEK293T ترانسفکت شدند. پس از تغليظ ویروس و تیتر کردن آن، سلول‌های *CD133⁺* با تیتر مطلوب ویروس آلوده شدند. سلول‌های حاوی ویروس مورد نظر، از نظر وجود پروتئین‌های Thy1، Chx10، Rhodopsin، PAX6، Nestin و *Thy-1* توسط روش ایمنوسایتوشیمی ارزیابی شدند.

یافته‌ها

پس از دو هفته پروتئین‌های *Thy-1*، Chx10، Nestin و *PAX6* در سلول‌های آلوده شده بیان شدند. هم چنین بیان مارکرهای Rhodopsin و *Nestin* در سلول‌های کنترل مشاهده شد.

نتیجه‌گیری

نتایج حاصل از این مطالعه بیانگر تمایز سلول‌های *CD133⁺* به سلول‌های پروژنیتوری عصبی و سلول‌های شبکیه از جمله سلول‌های گانگلیونی می‌باشد.

کلمات کلیدی: پروتئین *PAX6*، آنتی ژن *CD133*، خون بند ناف

تاریخ دریافت: ۲۶/۰۳/۹۳
تاریخ پذیرش: ۰۹/۱۲/۹۳

- کارشناس ارشد خون‌شناسی - مرکز تحقیقات انتقال خون - مؤسسه عالی آموزشی و پژوهشی طب انتقال خون تهران - تهران - ایران
- مؤلف مسئول: متخصص آسیب‌شناسی بالینی و تشریحی - دانشیار مرکز تحقیقات انتقال خون - مؤسسه عالی آموزشی و پژوهشی طب انتقال خون - تهران - ایران - صندوق پستی: ۱۱۵۷-۱۴۶۶۵
- استادیار پژوهشگاه ملی مهندسی ژنتیک و تکنولوژی زیستی - تهران - ایران
- کارشناس ارشد بیوشیمی - مریم مرکز تحقیقات انتقال خون - مؤسسه عالی آموزشی و پژوهشی طب انتقال خون - تهران - ایران
- فوق تخصص شبکیه - استاد مرکز تحقیقات چشم دانشگاه علوم پزشکی شهید بهشتی - تهران - ایران
- فوق تخصص شبکیه - دانشیار مرکز تحقیقات چشم دانشگاه علوم پزشکی شهید بهشتی - تهران - ایران
- PhD همانلولوژی و بانک خون - مرکز تحقیقات انتقال خون - مؤسسه عالی آموزشی و پژوهشی طب انتقال خون - تهران - ایران

مقدمه

امروزه با وجود پیشرفت‌های حاصل شده در علم چشم پزشکی، هنوز بیماری‌های ناشی از تخریب سلول‌های شبکیه به جهت ایجاد نابینایی برگشت ناپذیر، بزرگترین دغدغه چشم پزشکان محسوب می‌شود. از میان این بیماری‌ها، تخریب ماکولا وابسته به سن (Age = AMD) که شایع‌ترین عامل نابینایی در بیماران بالای ۶۰ سال است و هم چنین رتینیت پیگمتوزا (Retinit pigmentoza = RP) که شایع‌ترین بیماری دژنراتیو و راثی در شبکیه است، را می‌توان نام برد. لازم به ذکر است که در هر دو مورد سلول‌های Retinal Epithelium (RPE)، فتورسپتورهای مخروطی (Cone photoreceptor) و فتورسپتور استوانه‌ای (Rod photoreceptor) تخریب می‌شوند (۱). متاسفانه درمان‌های کنونی تنها توانسته‌اند سیر پیشرفت بیماری را کند کنند، بدیهی است که این گونه درمان‌ها برای مراحل پیشرفت‌های کارآیی ندارد. به همین دلیل امروزه توجه محققان به درمان‌های ترمیمی و جایگزینی سلول‌های شبکیه معطوف شده است، در میان این درمان‌ها، روش‌های استفاده از سلول‌های بنیادی بسیار مورد توجه قرار گرفته است (۲، ۳).

از زمانی که کارآیی استفاده از خون بند ناف در درمان بیماری‌های خونی اثبات شد، فکر ایجاد تشكیلات و برقراری ناف شکل گرفت. با ایجاد تشكیلات و برقراری استانداردهای جهانی، محققان به گام‌های بلندتری می‌اندیشند که یکی از آن‌ها دسترسی به سلول‌های سایر بافت‌ها از طریق تمایز سلول‌های موجود در بند ناف است. امروزه ثابت شده سلول‌های موجود در بند ناف به جهت اولیه‌تر بودن نسبت به سلول‌های بنیادی به دست آمده از بالغین، پتانسیل دگر تمایزی خوبی دارند (۴-۶). در این مطالعه سلول‌های بنیادی CD133⁺ موجود در خون بند ناف انسان، به عنوان منبعی جهت دستیابی به انواع سلول‌های شبکیه مورد بررسی قرار گرفته است.

با توجه به آن که تمایز سلول بنیادی به تعادل حساسی بین فاكتورهای داخلی و خارجی نیاز دارد، در این مطالعه با القای بیان ژن PAX6 در سلول‌های بنیادی خونساز

CD133⁺ به دست آمده از بند ناف علاوه بر اثر محیط، تاثیر این ژن نیز به عنوان یک فاكتور داخلی اثرگذار بررسی شد. ژن PAX6 جزیی از خانواده چند ژنی PAX و از فاكتورهای رونویسی است. پروتئین‌های حاصل از این خانواده در تکامل اولیه جانوران و برای اختصاصی شدن بعضی بافت‌های خاص ضروری هستند. از میان ژن‌های این خانواده ژن PAX6 به عنوان ژن کنترل‌کننده برای تکامل چشم و اندام‌های حسی بافت‌های اپیدرمی و عصبی خاص که همگی منشاء اکتودرمی دارند، محسوب می‌شود (۸).

ژن PAX6 ژن کنترل‌کننده در تکوین چشم بوده و در تشکیل عدسی، غنیه، شبکیه و قرنیه نقش اساسی دارد (۱۰، ۹). شواهدی وجود دارد که نشان می‌دهد PAX6 در بافت‌های آسیب‌دیده چشم بیان می‌شود تا به ترمیم این بافت‌ها کمک کند. هم چنین دیده شده تنظیم مصنوعی بیان PAX6 می‌تواند منجر به القای بازسازی بافت آسیب‌دیده چشم شود (۸). ژن PAX6 دارای دو ایزوفرم می‌باشد که در این مطالعه از ایزوفرم PAX6(5a) استفاده شده است. این ایزوفرم دارای ۱۴ آمینو اسید اضافی نسبت به ایزوفرم دیگر این ژن PAX(5b) می‌باشد که توسط اگزون ۵a کد می‌شود و به نظر می‌رسد نقش مؤثرتری در تکوین سلول‌های چشم بازی می‌کند (۱۱).

هدف این طرح بررسی اثر ژن PAX6(5a) بر سلول‌های خون‌ساز CD133⁺ به دست آمده از خون بند ناف انسان بود. سلول‌های CD133⁺ به علت پتانسیل بالایی که در تمایز به سلول‌های بافت‌های مختلف از جمله سلول‌های عصبی داشته‌اند، بسیار مورد توجه قرار گرفته‌اند.

هم چنین در مطالعه‌ها دیده شده که سلول‌های CD133⁺ به دست آمده از مغز استخوان به تعمیر RPE کمک می‌کنند و در مطالعه‌ای که در سال ۲۰۰۷ بر روی خون بند ناف انجام شد، مشاهده گردید که سلول‌های خارجی (Negative Lineage) موجود در بند ناف در in vivo به سلول‌های عصبی شبکیه تمایز می‌شوند (۱۲). ژن PAX6(5a) به واسطه وکتور (لتی ویروس) به این سلول‌ها منتقل شده سپس مسیرهای تمایزی سلول مورد بررسی قرار می‌گیرد.

سطحی ۷۰٪ برستند. آلوده‌سازی هم زمان پلاسمید نوترکیب للتی-*PMD2*، پلاسمید *PAX6*-، پلاسمید *PAX2* (کد کتنده پروتئین‌های پوششی) و پلاسمید *gag* و *pol* (توسط روش کلسیم فسفات انجام ساختاری شد. محیط کشت پس از ۱۲ ساعت تعویض شد.

تغليظ ذرات ويروسی و تعیین تیتر ویروسی:
 پس از ۷۲ ساعت از جمع آوری محیط کشت، محیط روبی سلول‌ها که حاوی ویروس‌های تولید شده است، جمع آوری و سوپانسیون ویروسی حاصل از دوره‌های مختلف کار با هم مخلوط شد. در مرحله بعد Peg ۶۰۰۰ (Polyethylene glycol) با غلظت نهایی ۸٪ به محلول اضافه شد. سپس محلول را به مدت ۱/۵ ساعت در دمای ۴ درجه سانتی گراد قرار داده و بعد از این مدت محلول برای ۱۵ دقیقه در ۷۰۰۰ g سانتریفیوژ شد. در نهایت به میزان ۱۰/۰ حجم اولیه X PBS اضافه و در ۷۰ درجه سانتی گراد ذخیره شد. به منظور تعیین تیتر ویروس‌های تولید و تغليظ شده، سلول‌های T ۲۹۳ با رقت‌های مختلف ویروس (از ۱/۲ تا ۱/۴۰۹۶) آلووده و پس از ۴۸ ساعت میزان بیان پروتئین گزارشگر GFP (green fluorescent protein) توسط میکروسکوپ فلورستت بررسی شد.

آلوده سازی سلول های $CD133^+$ جهت بررسی های مورفولوژیکی:

۱- میزان ۴۰۰ میکرولیتر از تیتر مورد نظر ویروس در ۱ ویال حاوی محیط کشت + ۵۰ ng SCF + Stem Span + ۵۰ ng TPO + ۵۰ ng Flt3 آن اضافه شد، پس از یک ساعت انکوباسیون در انکوباتور CO_2 ، محتویات ویال‌ها به پلیت ۶ خانه‌ای منتقل شده و ۱۶۰۰ میکرولیتر محیط Stem Span به چاهک‌ها اضافه شد.

۲- میزان ۲۰۰ میکرولیتر از تیتر مورد نظر در ویال ۵/۰ و در محیط کشت + ۵۰ ng SCF + Stem Span + ۵۰ ng Flt3 + ۵۰ ng TPO تهیه و تعداد ۱۰۰۰۰۰ سلول به آن اضافه شد.

۳- پس از یک ساعت انکوباسیون در انکوباتور CO_2 ، محتویات ویال‌ها به چاهک‌های پلیت ۲۴ خانه‌ای منتقل شده و ۸۰۰ میکرولیتر محیط Stem Span به چاهک‌ها

مواد و روش‌ها

جداسازی سلول‌های $CD133^+$ از خون بند ناف: در یک مطالعه تجربی برای جداسازی سلول‌های تک هسته‌ای، نمونه خون بند ناف که حجمی حدود ۱۵۰ میلی لیتر دارد با نسبت یک به یک با بافر هنکس رقیق و با نسبتی حدود یک به دو تا یک به سه (فایکول: خون بند ناف) روی فایکول برده شد. برای این کار از محلول فایکول با دانسیته ۱/۷۷ استفاده شد.

بدين ترتيب که از محلول فايکول مقدار ۳ تا ۴ ميلی ليتر در يك لوله فالكون ۱۵ ميلی ليتری ريخته، سپس سوسپانسيون سلولی را آرام به آن اضافه نموده و به مدت ۴۰ دقیقه با دور ۴۰۰ سانتريفورژ می شود. بعد از این که زمان سانتريفورژ پایان یافت، محتويات لوله فالكون به ۴ قسمت مجزا از هم تقسیم می شود که از پایین به بالا عبارتند از: ۱- گلبول های قرمز -۲- فايکول -۳- لایه سلول های تک هسته ای -۴- پلاسما با برداشت لایه سلول های تک هسته ای. سلول ها به حالت سوسپانسيون در آورده شده و از نمونه خون بند ناف جدا شدند. در مرحله بعد ۲۰۰ لاندا محلول بلوکه کننده به سلول ها اضافه شد، ۵ دقیقه بعد ۲۰۰ لاندا Ab CD133⁺ microbead به لوله اضافه شد و به مدت يك ساعت در ۴ درجه سانتي گراد قرار داده شد. سپس سوسپانسيون سلولی به ستون (MACS = Magnetic activated cell sorting) متقل شد. در مرحله بعد ستون از دستگاه جدا شده و محتويات آن به يك لوله فالكون متقل شد سپس لوله فالكون سانتريفورژ شد و سلول های حاصل در محیط مخصوص Stem Span و حاوی SCF + ۵۰ ng FLT3 + ۵۰ ng TPO کشت ۴۰ کشته شدند. در نهايت جهت ارزیابی درجه خلوص سلول های CD133⁺ CD34 و آنتی CD133 آناتی انجام شد.

انتقال سازه نوترکیب لستی-*PAX6* و پلاسمیدهای کل-کنترله پروتئین‌های پوششی و ساختاری ویرروس به سلول‌های *T* ۲۹۳

تقریباً حدود ۲۴ ساعت پیش از آلودهسازی (Transfection)، سلول‌های T_{293} کشت شیانه داده شدند تا به تراکم

mounting media) (4', 6-diamidino-2-phenylindole) (رنگ زمینه) اضافه شد و بعد از ۵ دقیقه چاهک‌ها با میکروسکوپ فلورسانس از نظر بیان مورد بررسی قرار داده شدند.

یافته‌ها

بررسی خصوصیات مورفولوژیکی رده سلولی $CD133^+$ توسط مشاهدات میکروسکوپی با میکروسکوپ معکوس: پس از جداسازی و کشت سلول‌های $CD133^+$ در محیط کشت اختصاصی Stem Span ، این سلول‌ها از نظر مورفولوژی بررسی شدند. مشخص شد که تعدادی از سلول‌های $CD133^+$ در محیط کشت به صورت سلول‌های گرد غیر چسبنده و تعدادی دارای زوائد کوچک و نیمه چسبنده هستند که به مرور زمان تعداد این سلول‌های نیمه چسبنده زائده‌دار افزایش می‌یابد(شکل ۱).

تایید حضور مارکرهای سطحی اختصاصی سلول‌های بنیادی $CD133^+$ با استفاده از آنتی‌بادی اختصاصی و دستگاه فلوسایتو‌متری:

پس از مشاهدات میکروسکوپی، این سلول‌ها از نظر بیان مارکر $CD34^+$ و $CD133^+$ مورد بررسی قرار گرفت. حضور ۹۰٪ مارکر $CD34$ و ۹۵٪ مارکر $CD133$ تایید کننده سلول‌های $CD133^+$ می‌باشد.

تعیین تیرلتی ویروس حاوی GFP با استفاده از سلول : *HEK293T*

بعد از مجاورت سلول‌های $CD133^+$ با رقت‌های مختلف ویروس طبق آن چه که توضیح داده شد، این سلول‌ها ۳ روز بعد از ترانسداکشن از نظر بیان GFP در رقت‌های مختلف مورد ارزیابی قرار گرفتند و مشاهده شد که در رقت ۱/۲ ، سلول‌ها تحت تاثیر غلظت بالای ویروس آسیب دیده بودند. در رقت ۱/۴ نیز سلول‌ها تا حدودی آسیب دیده بودند. رقت ۱/۸ بهترین کارآیی ویروس و کمترین آسیب را به همراه داشت گرچه در رقت‌های بالاتر ۱/۱۶ تا ۱/۶۴ بیان GFP وجود داشت ولی بالاترین کارآیی در رقت ۱/۸ مشاهده شد(شکل ۲).

اضافه شد.

تیمار سلول‌های ترانسداکت شده با آنتی‌بیوتیک پرومایسین: برای حذف سلول‌های ترانسداکت نشده، بعد از گذشت ۳ روز از ترانسداکشن یک بار محیط سلول‌ها تعویض شد (روز سوم). روز بعد(روز چهارم) سلول‌های ترانسداکت شده به مدت ۶ روز در مجاورت آنتی‌بیوتیک پرمایسین با غلظت $0.4 \mu\text{g/mL}$ قرار گرفتند.

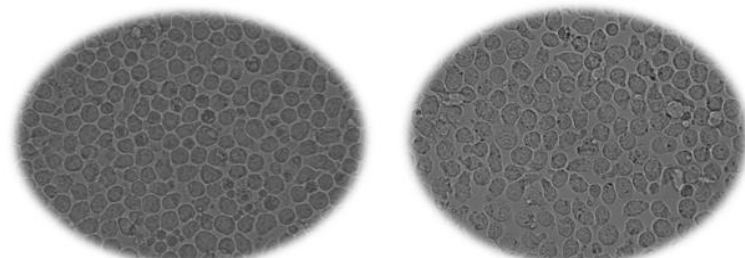
آزمایش / یمنوسیتوژنیمی:

این آزمایش در چاهک‌های پلیت ۲۴ خانه‌ای انجام شد به این ترتیب که: تعداد ۵۰۰۰۰ سلول در هر چاهک ریخته شد. روز بعد محیط رویی چاهک‌ها تخلیه شده و هر چاهک با ۵۰۰ میکرولیتر PBS شستشو داده شد.

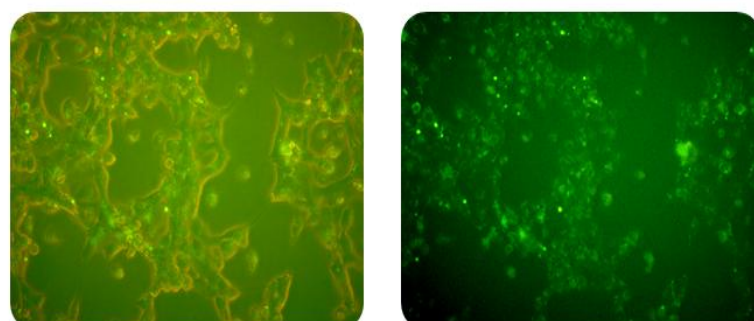
سلول‌های موجود در هر چاهک با متابول به مدت ۵ دقیقه ثبیت شدند. میزان ۵۰۰ میکرولیتر از محلول (۱٪ PBS – blocking TritonX100/BSA) به هر چاهک اضافه شد و ۲۰ دقیقه در دمای اتاق انکوبه شد. بعد از تخلیه محلول blocking آنتی‌بادی اولیه(بر علیه مارکرهای اختصاصی سلولی از قبیل: Rabbit AntiThy1 IgG ، Rabbit AntiCHX10 IgG ، AntiRhodopsin IgG Gout ، Rabbit AntiNestin IgG ، Anti Pax6 IgG) به هر چاهک به جز چاهک کنترل اضافه شد و پلیت یک شب در ۴ درجه سانتی‌گراد قرار داده شد.

روز بعد آنتی‌بادی اولیه تخلیه و هر چاهک سه بار و هر بار به مدت ۳ دقیقه با PBS شستشو داده شد. آنتی‌بادی ثانویه(بر علیه Fc آنتی‌بادی اولیه از قبیل: Gout Anti (Donkey Anti gout Antibody ، Rabbit antibody کوئنزوگه به FITC (Fluorescein Isothiocyanat) می‌باشد، به همه چاهک‌ها از جمله چاهک کنترل اضافه و به مدت ۴۵ دقیقه در دمای اتاق انکوبه شد.

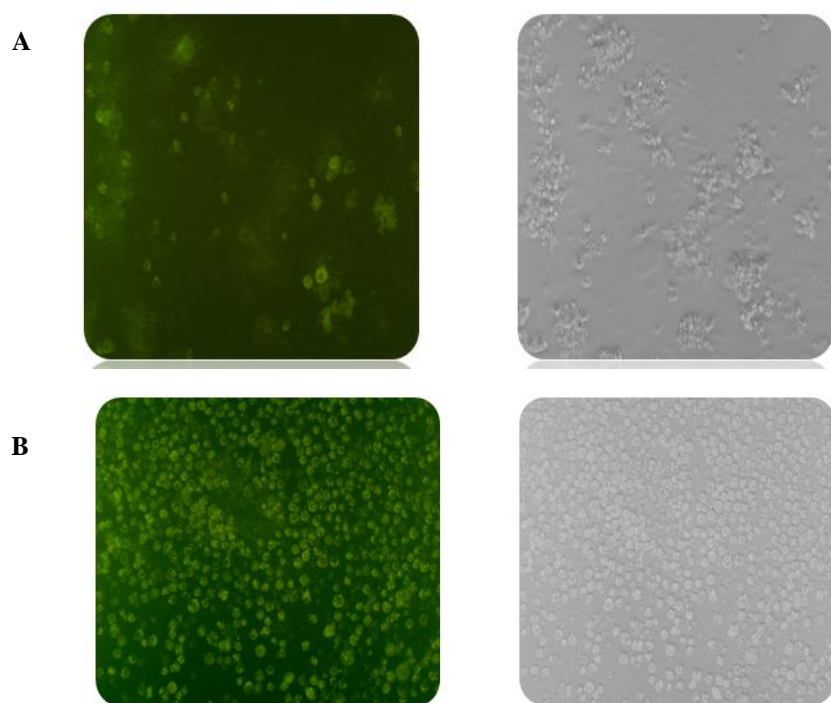
نکته آن که برای جلوگیری از خشش شدن FITC در مقابل نور، پلیت در فویل پیچیده شد. بعد از این زمان آنتی‌بادی ثانویه تخلیه و هر چاهک سه بار و هر بار به مدت ۱ دقیقه با PBS شستشو داده شد. در این زمان DAPI



شکل ۱: سلول‌های CD133⁺ جدا شده از بند ناف ۲ روز بعد از جداسازی نشان‌دهنده جمعیتی از سلول‌های غیر چسبنده و نیمه چسبنده می‌باشد.
(بزرگنمایی $\times 400$)



شکل ۲: سلول‌های HEK293T ۳ روز بعد از مجاور شدن با رقت ۱/۸ ویروس نشان‌دهنده بالاترین میزان بیان GFP و کمترین آسیب سلولی می‌باشد(بزرگنمایی $\times 200$)



شکل ۳: تصویر A: سلول‌های CD133⁺ ۳ روز بعد از مجاورت با رقت ۱/۴ لنتی ویروس حاوی GFP نشان‌دهنده بیان GFP و آسیب در اثر دوز بالای ویروس می‌باشد تصویر B: سلول‌های CD133⁺ ۳ روز بعد از مجاورت با رقت ۱/۸ لنتی ویروس حاوی GFP نشان‌دهنده بالاترین میزان بیان GFP و کمترین آسیب سلولی می‌باشد(بزرگنمایی $\times 200$)

کارآیی مطلوب در رقت ۱/۸ بود. ضمن آن که در رقت‌های ۱/۱۶ و ۱/۴ نیز بیان GFP مشاهده می‌شد ولی در رقت ۱/۴ سلول‌ها تا حد زیادی تحت تاثیر ویروس آسیب‌دیده بودند و GFP در رقت ۱/۱۶ بسیار ضعیف بیان شده بود(شکل ۳).

بررسی تغییرات مورفولوژیکی بعد از ترانسداکت سلول‌های $CD133^+$ با رقت ۱/۸ ویروس حاوی ژن $PAX6$:

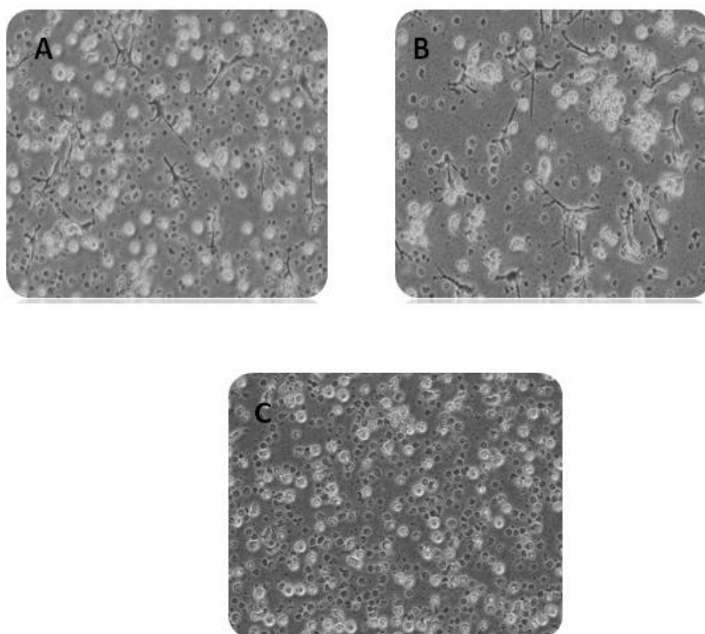
سلول‌های $CD133^+$ در مجاورت تیتر مورد نظر ویروس حاوی ژن $PAX6$ قرار داده شد. بعد از آن هر ۲۴ ساعت تغییرات بررسی و ثبت گردید. نتایج نشان‌دهنده ایجاد تغییرات مورفولوژیکی از ۴۸ ساعت بعد از آلووده‌سازی بود. ۲ روز پس از آلووده‌سازی، سلول‌های $CD133^+$ زوائد مویی شکلی که از یک قطب سلول کشیده می‌شد در آوردن. روز سوم سلول‌های تعویض محیط شده و از روز چهارم این سلول‌ها در مجاورت پرومایسین قرار داده شدند. همان طور که مشاهده می‌شود، پس از سه روز مجاورت با پرومایسین سلول‌های آلوود شده قابل افتراق از سلول‌های آلوود نشده (درحال مرگ) هستند(شکل ۴).

تعیین تیتر لنتی ویروس حاوی GFP با استفاده از سلول $HEK293T$

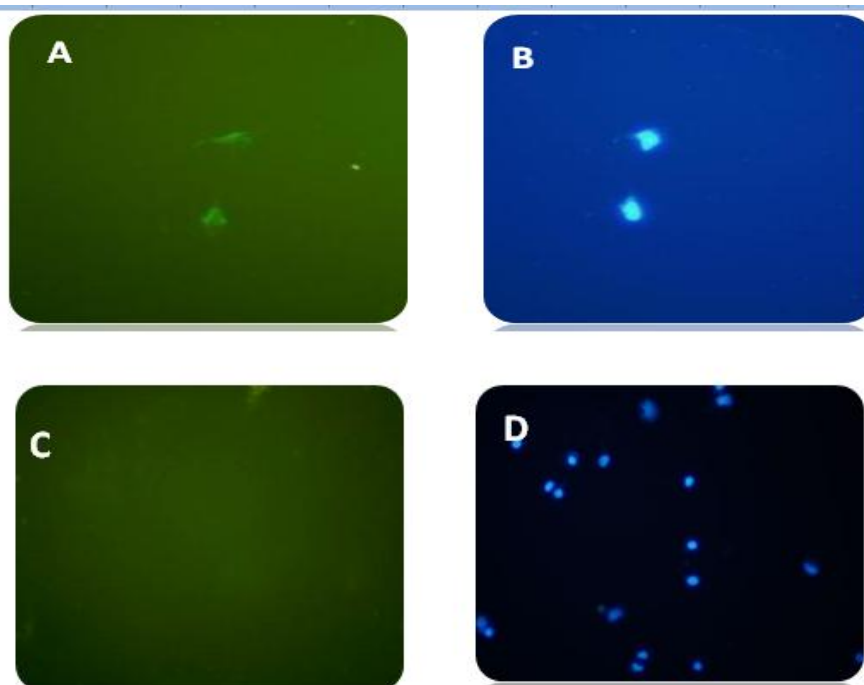
بعد از مجاورت سلول‌های $CD133^+$ با رقت‌های مختلف ویروس طبق آن چه که توضیح داده شد، این سلول‌ها ۳ روز بعد از ترانسداکشن از نظر بیان GFP در رقت‌های مختلف مورد ارزیابی قرار گرفتند و مشاهده شد که در رقت ۱/۲، سلول‌ها تحت تاثیر غلظت بالای ویروس آسیب دیده بودند. در رقت ۱/۴ نیز سلول‌ها تا حدودی آسیب دیده بودند. رقت ۱/۸ بهترین کارآیی ویروس و کمترین آسیب را به همراه داشت گرچه در رقت‌های بالاتر از ۱/۱۶ تا ۱/۶۴ بیان GFP وجود داشت ولی بالاترین کارآیی در رقت ۱/۸ مشاهده شد(شکل ۴).

تایید تیتر لنتی ویروس GFP دار با استفاده از سلول‌های هاف:

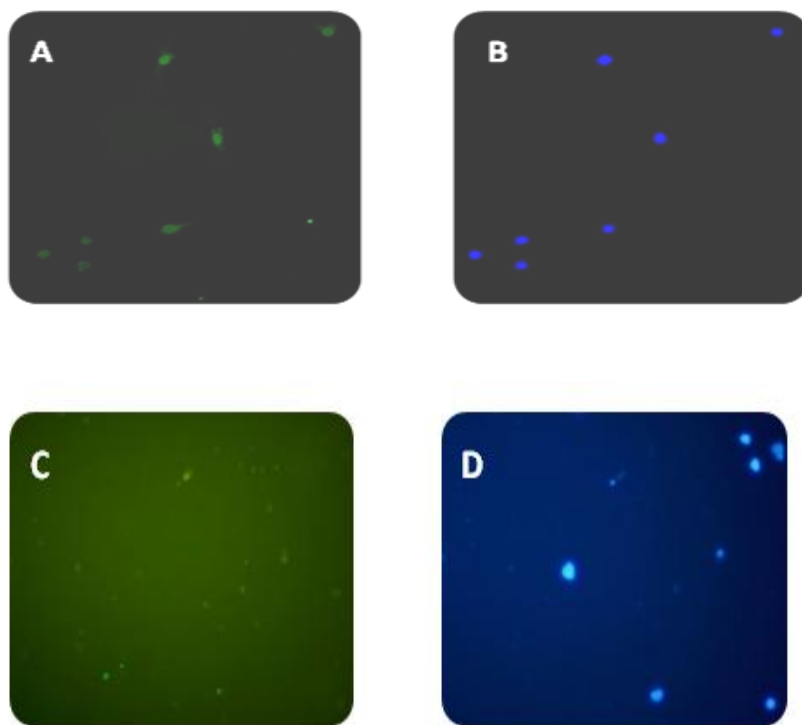
بعد از به دست آوردن تیتر مطلوب ویروس GFP دار با استفاده از سلول‌های $HEK293T$ برای اثبات کارآیی این رقت بر سلول‌های هاف، این سلول‌ها با رقت مطلوب ویروس GFP دار(۱/۸) و دو رقت بالا و پایین‌تر از آن (۱/۴، ۱/۱۶) مورد ارزیابی قرار گرفتند. نتایج نشان‌دهنده



شکل ۴: سلول‌های $CD133^+$ ۱۴ روز پس از آلووده‌سازی با ویروس حاوی ژن $PAX6$ و ۷ روز پس از مجاورت با آنتی‌بیوتیک پرومایسین (A,B) کنترل ۷ روز پس از مجاورت با آنتی‌بیوتیک پرومایسین (C)



شکل ۵: سلول‌های آلدده شده با ویروس حاوی ژن *PAX6* پروتئین Chx10 را به صورت هسته‌ای (irregular) (A:FITC),(B:DAPI) بیان می‌کنند(C,D) کنترل (C,D)(بزرگنمایی ۲۰۰X)



شکل ۶: سلول‌های آلدده شده با ویروس حاوی ژن *PAX6* پروتئین *PAX6* را به صورت هسته‌ای بیان می‌کنند(A:FITC),(B:DAPI) (C,D) کنترل (D) بزرگ نمایی ۲۰۰ X

Chx10 و Nestin و PAX6 می‌تواند بیانگر وجود جمعیت‌های پروژنیتوری عصبی نیز باشد. با توجه به قابلیت تکثیر بیشتر این نوع سلول‌های پروژنیتوری در مقایسه با سلول‌های سوماتیک نظیر فیبروبلاست که در مطالعه‌های دیگر از نظر دگر تمايز به عصب مورد بررسی قرار گرفته‌اند، این موضوع یک مزیت مهم به حساب می‌آید(۱۵). هم چنین قابلیت تمايز به سلول‌های عصبی با القای تنها یکی از ژن‌های کنترل کننده عصبی در مقایسه با نیاز به کارگیری چندین فاکتور برای تمايز سلول‌های سوماتیک به سلول‌های عصبی، بیانگر قابلیت انعطاف‌پذیری بیشتر سلول‌های بنیادی در مقایسه با سلول‌های سوماتیک مطالعه شده می‌باشد(۱۶).

اگر چه ژن PAX6 در تمام سلول‌های Optic Cup شبکیه بیان می‌شود، ولی بیان پایدار این ژن در سلول‌های گانگلیونی و آماکراین مشاهده می‌شود(۱۷). هم چنین مشاهده شده که کاهش بیان PAX6 با کاهش سلول‌های گانگلیونی و افزایش سلول‌های فتورسپتوری استوانه‌ای همراه است(۱۱). این موارد به همراه بیان واضح Thy-1 در نمونه‌های آزمایش و عدم بیان آن در نمونه‌های کنترل، احتمالاً بیانگر تمايز به سمت سلول‌های شبکه گانگلیونی می‌باشد. گرچه بیان Nestin در سلول‌های پروژنیتوری شبکیه و هم چنین سلول‌های گانگلیونی قابل مشاهده است و بدین ترتیب نقض کننده نتایج حاصل نمی‌باشد ولی بیان این مارکر در سلول‌های کنترل بیانگر عدم اختصاصیت آن و بیشتر تایید کننده پتانسیل سلول‌های CD133⁺ به تمايز به سمت سلول‌های با ماهیت پروژنیتوری عصبی می‌باشد(۱۸، ۱۹). بیان رودوپسین به عنوان مارکر اختصاصی سلول‌های فتورسپتوری هم در سلول‌های کنترل و هم سلول‌های تمايز یافته ممکن است نشان گر تمايز خود به خودی سلول‌های CD133⁺ آلووده نشده به سمت سلول‌های فتورسپتوری باشد زیرا مشخص شده که بیان PAX6 با کاهش تمايز به سلول‌های فتورسپتوری همراه است(۱۱). PAX6 به موازات Chx10 در سلول‌های پروژنیتوری عصبی شبکیه بیان می‌شود و مشخص شده که ژن PAX6 اثر تنظیمی بر بیان این ژن دارد(۱۷). هر چند Chx10 اختصاصی سلول‌های دو قطبی نیز می‌باشد ولی در این جا

ارزیابی بیان پروتئین‌های Nestin، Thy-1، Chx10، PAX6، Rhodopsin حاوی ژن PAX6 با استفاده از آزمایش ایمنوسیتوشیمی (ICC):

جهت ارزیابی بیان پروتئین‌های Thy-1، Chx10، PAX6، Rhodopsin، Nestin ویروس حاوی ژن PAX6، این سلول‌ها ۶ روز پس از مجاورت با پرمایسین ثبت شده و با استفاده از آزمایش ICC مورد ارزیابی قرار گرفتند. نتایج نشان‌دهنده بیان پروتئین‌های Chx10، PAX6 و Thy-1 در گروه آزمون و بیان پروتئین‌های Nestin و Rhodopsin هم در گروه آزمون و هم در گروه شاهد بود(شکل‌های ۵ و ۶).

بحث

همان طور که در مقدمه عنوان شد، بیماری‌هایی از قبیل ماکولای وابسته به جنس (AMD)، رتینیت پیگمتوزا و گلوكوما که همگی شبکیه چشم را درگیر می‌کنند، علل شایع نایینایی در دنیا هستند و درمان‌های مربوط به این بیماری‌ها تنها سیر صعودی آن‌ها را کند می‌کند. از این رو امروزه جهت درمان قطعی این بیماری‌ها محققان به روش‌های سلول درمانی متول شده‌اند. پیرو این هدف در این تحقیق سلول‌های CD133⁺ به دست آمده از بند ناف به دلیل ظرفیت بالا برای تمايز به سلول‌های عصبی انتخاب شده و ژن PAX6(5a) که ژن اصلی کنترل کننده تکوین چشم می‌باشد به این سلول‌ها با استفاده از وکتور لتنی ویروس منتقل شد.

نتایج مطالعه حاضر نشان داد که القای ژن PAX6 به سلول‌های بنیادی CD133⁺ به دست آمده از بند ناف، باعث القای تمايز به سمت سلول‌های شبکیه می‌شود. بیان مارکرهای اختصاصی سلول‌های شبکیه نظیر Thy-1 (به عنوان مارکر اختصاصی سلول‌های گانگلیونی)، Chx10 (به عنوان مارکر اختصاصی سلول‌های گانگلیونی) و Rhodopsin (به عنوان مارکر اختصاصی سلول‌های دو قطبی و سلول‌های پروژنیتوری شبکیه) و Rhodopsin (به عنوان مارکر اختصاصی سلول‌های فتورسپتوری)، بیانگر وجود جمعیتی هتروژن از سلول‌های عصبی شبکیه می‌باشد(۱۴، ۱۵). هم چنین بیان مارکرهای پروژنیتوری عصبی نظیر

این مطالعه هم چنین با مطالعه‌های صورت گرفته که اثر ژن PAX6 را بر سلول‌های مختلف ارزیابی می‌کند هم‌خوانی دارد. از جمله این مطالعه‌ها می‌توان به موارد زیر اشاره کرد:

در مطالعه‌ای که نوریوکی آزوما و همکارانش در سال ۲۰۰۵ انجام دادند مشخص شد که با انتقال ژن PAX6 به سلول‌های اپیتلیوم پیگمانته شبکیه (RPE)، این سلول‌ها دچار دگر تمایزی شده و خصوصیات سلول‌های عصبی شبکیه را به دست می‌آورند (۲۴).

در مطالعه‌ای دیگر لاتی تیا کارتیر و همکارانش نشان دادند که آلوده‌سازی سلول‌های Hela با لتی ویروس حاوی ژن PAX6، منجر به بیان آلفا ۳ توبولین عصبی و در نتیجه تغییرات مورفولوژیکی عصبی می‌شود. این مطالعه از نظر تغییرات مورفولوژیکی اعمال شده توسط ژن PAX6 با مطالعه حاضر قابل مقایسه است (۲۵).

نتیجه‌گیری

نتایج حاصل از این مطالعه بیانگر تمایز سلول‌های CD133⁺ با استفاده از تلقیح ژن PAX6 به این سلول‌ها به سمت سلول‌های پروژنیتوری عصبی با در نظر گرفتن بیان مارکرهای پروژنیتوری از قبیل Chx10، Nestin، PAX6 و PAX6 و هم چنین تمایز به سمت سلول‌های شبکیه گانگلیونی با در نظر گرفتن تغییرات مورفولوژیکی و بیان مارکرهای اختصاصی گانگلیون نظیر Thy-1 و PAX6 می‌باشد. جهت تایید قطعی تر بیان این مارکرها بهتر است که در مطالعه‌های بعدی بیان این مارکرهای مذکور به صورت مولکولی نیز بررسی شود.

تشکر و قدردانی

این مقاله حاصل پایان‌نامه کارشناسی ارشد مصوب مرکز تحقیقات انتقال خون، مؤسسه عالی آموزشی و پژوهشی طب انتقال خون می‌باشد که با حمایت مرکز تحقیقات چشم دانشگاه علوم پزشکی شهید بهشتی انجام شده است.

احتمالاً بیان Chx10 در موازات PAX6 در نمونه‌های آزمایش و عدم بیان آن در نمونه‌های کنترل تاییدکننده وجود سلول‌های پروژنیتوری عصبی شبکیه است، به این علت که بیان پایدار PAX6 همان طور که ذکر شد با افزایش تمایز به سلول‌های گانگلیونی و آماکراین و کاهش تمایز به سمت سلول‌های دو قطبی و فتورسپتوری همراه است (۱۱).

نتایج مطالعه حاضر در راستای مطالعه صورت گرفته در سال ۲۰۱۲ که توسط جیورگتی و همکارانش انجام گرفت می‌باشد در این مطالعه آنها نشان دادند که القای SOX-2 به سلول‌های بنیادی CD133⁺ با از دست دادن ماهیت خونسازی و تبدیل به سلول‌های شبکیه عصبی همراه است (۲۰). ژانگ و همکارانش نیز در مطالعه‌ای نشان دادند که تیمار سلول‌های CD133⁺ با رتینوئیک اسید منجر به تمایز این سلول‌ها به سمت سلول‌های شبکیه عصبی، سلول‌های آستروسیتی و الیگودندروسیت می‌شود (۲۱). در مطالعه‌ای دیگر که توسط فقیهی و همکارانش در سال ۲۰۰۸ انجام شد، مشخص شد که تیمار سلول‌های CD133⁺ با (STS) باعث تمایز آنها به سلول‌های شبکیه عصبی و آستروسیت می‌شود (۶). اسلووینسکا و همکارانش نیز در مطالعه‌ای با مجاورت سلول‌های CD133⁺ و CD133⁻ به دست آمده از بند ناف با فاکتورهای رشدی نظیر EGF، bFGF و سپس جایگزین کردن آن با FBS نشان دادند که بین دو جمعیت سلول‌های CD133⁻ و CD133⁺ از نظر بیان مارکرهای عصبی اختلاف معناداری وجود دارد که نشان‌دهنده پتانسیل بیشتر سلول‌های CD133⁺ به سمت تمایز به سلول‌های شبکیه عصبی می‌باشد (۲۲). زانگیاکومی و همکاران نیز در مطالعه‌ای به نقش مؤثر جمعیت CD34⁻ بند ناف بر تمایز سلول‌های CD133⁺ به سمت سلول‌های شبکیه عصبی پی بردن (۲۳). با توجه به مطالعه‌های ذکر شده نتایج مطالعه حاضر نیز تایید کننده پتانسیل سلول‌های CD133⁺ جهت تمایز به سمت سلول‌های پروژنیتوری عصبی و شبکیه عصبی می‌باشد.

References:

- 1- Vugler AA. Progress toward the maintenance and repair of degenerating retinal circuitry. *Retina* 2010; 30(7): 983-1001.
- 2- Osakada F, Jin ZB, Hirami Y, Ikeda H, Danjyo T, Watanabe K, et al. *In vitro* differentiation of retinal cells from human pluripotent stem cells by small-molecule induction. *J Cell Sci* 2009; 122(Pt 17): 3169-79.
- 3- Zhao X, Liu J, Ahmad I. Differentiation of embryonic stem cells into retinal neurons. *Biochem Biophys Res Commu* 2002; 297(2): 177-84.
- 4- Cui YX, Kafienah W, Suleiman MS, Ascione R. A new methodological sequence to expand and transdifferentiate human umbilical cord blood derived CD133⁺ cells into a cardiomyocyte-like phenotype. *Stem Cell Rev* 2013; 9(3): 350-9.
- 5- Paspala SA, Balaji AB, Nyamath P, Ahmed KS, Khan AA, Khaja MN, et al. Neural stem cells & supporting cells - The new therapeutic tools for the treatment of spinal cord injury. *Indian J Med Res* 2009; 130(4): 379-91.
- 6- Faghihi F, Mehranjani MS, Mehrjerdi NZ, Baharvand H. Effect of Staurosporine on Neural Differentiation of CD133⁺ Umbilical Cord Blood Cells. *Yakhteh Medical Journal* 2008; 10(1): 33-40.
- 7- Murakami Y, Ogasawara M, Sugahara F, Hirano S, Satoh N, Kuratani S. Identification and expression of the lamprey *Pax6* gene: evolutionary origin of the segmented brain of vertebrates. *Development* 2001; 128(18): 3521-31.
- 8- Sansom SN, Griffiths DS, Faedo A, Kleinjan DJ, Ruan Y, Smith J, et al. The level of the transcription factor *Pax6* is essential for controlling the balance between neural stem cell self-renewal and neurogenesis. *PLoS Genet* 2009; 5(6): e1000511.
- 9- Cvekl A, Yang Y, Chauhan BK, Cveklova K. Regulation of gene expression by *Pax6* in ocular cells: a case of tissue-preferred expression of crystallins in lens. *Int J Dev Biol* 2004; 48(8-9): 829-44.
- 10- Azuma N, Tadokoro K, Asaka A, Yamada M, Yamaguchi Y, Handa H, et al. The *Pax6* isoform bearing an alternative spliced exon promotes the development of the neural retinal structure. *Hum Mol Genet* 2005; 14(6): 735-45.
- 11- Hsieh YW, Yang XJ. Dynamic *Pax6* expression during the neurogenic cell cycle influences proliferation and cell fate choices of retinal progenitors. *Neural Dev* 2009; 4(32): 1-19.
- 12- Koike-Kiriyama N, Adachi Y, Minamino K, Iwasaki M, Nakano K, Koike Y, et al. Human cord blood cells can differentiate into retinal nerve cells. *Acta Neurobiol Exp (Wars)* 2007; 67(4): 359-65.
- 13- Huang W, Fileta J, Guo Y, CL G. Downregulation of Thy1 in retinal ganglion cells in experimental glaucoma. *Curr Eye Res* 2006; 31(3): 265-71.
- 14- Burmeister M, Novak J, Liang MY, Basu S, Ploder L, Hawes NL, et al. Ocular retardation mouse caused by Chx10 homeobox null allele: impaired retinal progenitor proliferation and bipolar cell differentiation. *Nat Genet* 1996; 12(4): 376-84.
- 15- Qiang L, Fujita R, Yamashita T, Angulo S, Rhinn H, Rhee D, et al. Directed conversion of Alzheimer's disease patient skin fibroblasts into functional neurons. *Cell* 2011; 146(3): 359-71.
- 16- Han DW, Tapia N, Hermann A, Hemmer K, Höing S, Araúzo-Bravo MJ, et al. Direct reprogramming of fibroblasts into neural stem cells by defined factors. *Sell Stem Cell* 2012; 10(4): 465-72.
- 17- Nishina S, Kohsaka S, Yamaguchi Y, Handa H, Kawakami A, Fujisawa H, et al. *PAX6* expression in the developing human eye. *Br J Ophthalmol* 1999; 83(6): 723-7.
- 18- Qiu G, Seiler MJ, Thomas BB, Wu K, Radosevich M, Sadda SR. Revisiting nestin expression in retinal progenitor cells *in vitro* and after transplantation *in vivo*. *Exp Eye Res* 2007; 84(6): 1047-59.
- 19- Yang J, Bian W, Gao X, Chen L, Jing N. Nestin expression during mouse eye and lens development. *Mech Dev* 1999; 94(1-2): 287-91.
- 20- Giorgetti A, Marchetto MC, Li M, Yu D, Fazzina R, Mu Y, et al. Cord blood-derived neuronal cells by ectopic expression of Sox2 and c-Myc. *Proc Natl Acad Sci U S A* 2012; 109(31): 12556-61.
- 21- Jang YK, Park JJ, Lee MC, Yoon B, Yang YS, Yang SE, et al. Retinoic acid-mediated induction of neurons and glial cells from human umbilical cord blood-derived hematopoietic stem cells. *J Neurosci Res* 2003; 75(4): 573-84.
- 22- Slovinska L, Novotna I, Kubes M, Radonak J, Jergova S, Ciganova V, et al. Umbilical cord blood cells CD133⁺/CD133⁻ cultivation in neural proliferation media differentiates towards neural cell lineages. *Arch Med Res* 2011; 42(7): 555-62.
- 23- Zangiacomi V, Balon N, Maddens S, Lapierre V, Tiberghien P, Schlichter R, et al. Cord blood-derived neurons are originated from CD133⁺/CD34 stem/progenitor cells in a cell-to-cell contact dependent manner. *Stem Cells Dev* 2008; 17(5): 1005-16.
- 24- Azuma N, Tadokoro K, Asaka A, Yamada M, Yamaguchi Y, Handa H, et al. Transdifferentiation of the retinal pigment epithelia to the neural retina by transfer of the *Pax6* transcriptional factor. *Hum Mol Genet* 2005; 14(8): 1059-68.
- 25- Cartier L, Laforge T, Feki A, Arnaudeau S, Dubois-Dauphin M, Krause KH. *Pax6*-induced alteration of cell fate: shape changes, expression of neuronal a tubulin, postmitotic phenotype, and cell migration. *J Neurobiol* 2006; 66(5): 421-36.

Original Article

Retinal cells development through transfection of CD133⁺ HSC derived from human cord blood by PAX6 master gene

Balagholi S.^{1,2}, Amini Kafi-Abad S.¹, Soheili Z.S.³, Samiee Sh.¹, Ahmadiyeh H.⁴, Rezaie Kanavi M.⁴, Nikougoftar Zarif M.¹, Daftarian N.⁴

¹Blood Transfusion Research Center, High Institute for Research and Education in Transfusion Medicine, Tehran, Iran

²Tehran Regional Educational Blood Transfusion Center, Tehran, Iran

³National Institute of Genetic Engineering and Biotechnology, Tehran, Iran

⁴Ophthalmic Research Center, Shahid Beheshti University of Medical Sciences, Tehran, Iran

Abstract

Background and Objectives

Cord blood CD133⁺ stem cells are highly proliferative primitive hematopoietic progenitors. These cells can also differentiate to other cells especially neural cells. The PAX6 gene belongs to a family of genes that play a critical role in the formation of tissues and organs during embryonic development. The PAX6 protein is thought to activate genes involved in the formation of the eyes, brain and spinal cord (central nervous system), and the pancreas. The purpose of this study was to assess PAX6 (5a) gene transfer in cord blood CD133⁺ stem cells and evaluate its effect on differentiation.

Materials and Methods

In this experimental study, cord blood stem cells were collected and mononuclear cells isolated by ficoll; then, CD133⁺ cells were obtained using the CD133 MicroBead Kit in combination with the autoMACS Separator. These cells were cultured in Stem Span media. Next, HEK293T packaging cells were co-transfected with PLEX-MCS, PsPAX2, and pMD2G by calcium phosphate method. Lentiviral vectors were collected and concentrated. The appropriate amount of viruses was used to infect CD133⁺ cells. The successful transduced cells were selected by puromycin resistance. After two weeks, the expression of Rhodopsin, CHX10, Thy1, Nestin, and PAX6 proteins was assessed by immunocytochemistry method.

Results

Two weeks after infection, the expression of Rhodopsin, CHX10, Thy1, Nestin, and PAX6 proteins were detected in treatment cells and the expression of Rhodopsin and Nestin in control cells.

Conclusions

The results showed CD133⁺ cells differentiated into progenitor neural like cells and retinal neural like cells including ganglion like cells.

Key words: PAX6 protein, CD133 antigen, Cord Blood

Received: 26 Apr 2014

Accepted: 28 Feb 2015

Correspondence: Amini Kafi-Abad S., MD. Pathologist. Associate Professor of Blood Transfusion Research Center, High Institute for Research and Education in Transfusion Medicine. P.O.Box: 14665-1157, Tehran, Iran. Tel: (+9821) 88601558; Fax: (+9821) 88601542 E-mail: s.amini@ibto.ir